

استفاده از شبکه عصبی-ژنتیک الگوریتم و نروفازی برای مدل سازی دینامیک جمعیت میکروبی (اشرشیا کلی ATCC ۲۹۹۹۸) سوسیس فرانکفورتر حاوی عصاره قره قات

فریده طباطبایی یزدی^{۱*}، علی الغونه^۲، بهروز علیزاده بهبهانی^۲، علیرضا وسیعی^۲

۱- دانشیار و عضو هیئت علمی گروه علوم و صنایع غذایی، دانشکده کشاورزی، دانشگاه فردوسی مشهد

۲- دانشجوی دکتری علوم و صنایع غذایی، دانشکده کشاورزی، دانشگاه فردوسی مشهد

(تاریخ دریافت: ۹۳/۴/۱۷ تاریخ پذیرش: ۹۳/۶/۱۲)

چکیده

هدف از این پژوهش، بررسی تاثیر پارامترهای زمان، نوع عصاره، غلظت عصاره و دمای محیط بر دینامیک جمعیت باکتری اشرشیا کلی در یک سیستم کمپکلس غذایی (سوسیس فرانکفورتر) و مدل سازی آن به وسیله ژنتیک الگوریتم-شبکه عصبی مصنوعی و سیستم‌های نورو فازی (CANFIS) می‌باشد. در این پژوهش، از روش رقت سازی در چاهک برای تعیین حداقل غلظت مهار کنندگی (MIC) و حداقل غلظت کشنندگی (MBC) عصاره‌های آبی و اتانولی قره قات استفاده شد. مدل ژنتیک الگوریتم-شبکه عصبی و سیستم نورو فازی (CANFIS) دارای چهار ورودی شامل، غلظت در پنج سطح (صفرا، ۲۰۰۰، ۴۰۰۰، ۶۰۰۰، ۸۰۰۰ ppm)، نوع عصاره (آبی، اتانولی)، دما در سه سطح (۱۵، ۲۵ و ۴۰ درجه سانتی گراد)، و زمان (صفرا تا ۲۰ روز) بود. نتایج نشان داد شبکه عصبی با یک لایه مخفی، ۱۰ نورون در لایه مخفی، تابع فعال سازی از نوع تائزانت هیپربولیک، قاعده یادگیری مومتومن، درصد داده‌های ۳۰، ۴۰ به ترتیب برای آموزش، ارزیابی و آزمون برای پیش‌بینی دینامیک جمعیت باکتری اشرشیای کلی به کار رود ($R^2 = 0.995$). همچنین همبستگی بسیار مناسبی بین پیش‌بینی های سیستم نورو فازی و داده‌های تجربی وجود داشت ($R^2 = 0.96$). لازم به ذکر است که در این پژوهش سیستم ژنتیک الگوریتم-شبکه عصبی به شیوه مناسب تری قادر به پیش‌بینی دینامیک جمعیت باکتری اشرشیا کلی بود.

کلید واژگان: اشرشیا کلی، قره قات، ژنتیک الگوریتم، شبکه عصبی مصنوعی، نورو فازی

۱- مقدمه

نظری هوا و فضا، هوش مصنوعی، مهندسی شیمی، کنترل، مهندسی پزشکی، اقتصاد و ... بوده این [۱۰، ۹].

در روش مدلسازی سیستم های هوشمند، برخلاف مدل های فیزیکی هیچ گونه اطلاعاتی درباره اتفاقات داخل سیستم در اختیار گذاشته نمی شود و مکانیسم ها و ارتباطات داخلی بین متغیرهای ورودی و خروجی مورد نظر مشخص نیست و به همین دلیل این مدل ها را اصطلاحاً مدل های جعبه سیاه نیز می نامند. در حقیقت این مدل ها تنها سیستم را توصیف می کنند. مدل های شبکه های عصبی مصنوعی و سیستم های نروفازی از جمله مدل های توصیفی هستند. این مدل ها برای انواع مسائل خطی و غیر خطی چند متغیره قابل استفاده اند [۱۱].

سیستم های هوشمند به طور موفقیت آمیزی برای مدل سازی در حوزه میکروبیولوژی مواد غذایی به کار رفته است، از جمله می توان به مدل سازی اثر ضد میکروبی پالپ و عصاره انگور بر استافافیلوکوکوس اورئوس و اشرشیا کلی در سوب سبزیجات با استفاده از شبکه عصبی مصنوعی و منطق فازی [۱۲]. مدل سازی اثر ضد میکروبی عصاره آنانو بر جمعیت میکروبیسالمونلا اینتریتیدیس با استفاده از شبکه عصبی مصنوعی و سیستم های نروفازی [۱۳]، کاربرد شبکه های عصبی مصنوعی برای مدل سازی فرایند آزادسازی پلی فنل و قند های احیا کننده در برگ ریخته شده کاج [۱۴] و مدل سازی پیتید های ضد میکروبی با استفاده از سیستم های نورو فازی اشاره نمود [۱۵].

تاکنون هیچ گونه پژوهشی مبنی بر بررسی اثر ضد میکروبی عصاره قره قات بر باکتری اشرشیا کلی در یک سیستم کمپلکس غذایی (سوسیس فرانکفورتر) صورت نگرفته است. لذا هدف از این پژوهش بررسی تاثیر پارامتر های، زمان (۲۰ روز)، نوع عصاره (آبی و اتانولی)، غلاظت عصاره (صفر، ۲۰۰۰، ۴۰۰۰، ۶۰۰۰، ۸۰۰۰ ppm) و دمای محیط (۵، ۱۵ و ۲۵ درجه سانتی گراد) بر دینامیک جمعیت باکتری اشرشیا کلی در یک سیستم کمپلکس غذایی (سوسیس فرانکفورتر) و مدل سازی آن به وسیله ژنتیک الگوریتم-شبکه عصبی مصنوعی و سیستم های نورو فازی (CANFIS) می باشد.

امروزه تولیدات گوشتی به دلیل داشتن ویژگی های حسی، بافتی و قیمت مناسب در مقایسه با گوشت تازه به صورت گستردۀ ای مورد توجه مصرف کنندگان قرار گرفته اند [۱]. اغلب فرمولاسیون فرآورده های گوشتی حاوی نیتریت هستند، نیتریت به عنوان جز اصلی در این محصولات شناخته می شود. نیتریت در ایجاد، توسعه طعم و بوی مخصوص فرآورده، جلوگیری از اکسیداسیون لیپید و ممانعت از رشد باکتری های پاتوژن موثر است [۲]. به تاخیر انداختن اکسیداسیون لیپید و جلوگیری از رشد باکتری های پاتوژن، فاکتورهایی هستند که به صورت قابل ملاحظه ای می توانند دوره ماندگاری فرآورده های گوشتی را تضمین نمایند [۳، ۴]. با وجود مزایای ذکر شده در بالا، مقدار بالای نیتریت در محصولات گوشتی از جنبه سلامتی مضر و زیان بخش است [۵، ۶]. قره قات یا قارا قات (Redcurrant) با نام علمی *Ribes rubrum* میوه های جنگلی است. به طور کلی میوه قره قات بومی اروپای غربی و شمال کشورهای ایتالیا، اسپانیا، لهستان و پرتغال می باشد. در ایران قره قات در جنگل های منطقه ارسباران نیز به فراوانی یافت می شود. ارتفاع بوته قره قات ۱ تا ۱/۵ متر است و گاهی تا به دو متر نیز میرسد [۷]. توسعه تکنیک های موفق مدلسازی، منجر به کاهش لزوم آزمایشات تجربی و در نتیجه صرفه جویی در زمان و هزینه توسعه مراحل فرآیند می گردد. یک مدل با پیش بینی کارابی به کاربر اجازه به دست آوردن خصوصیات، پیش بینی کارابی فرآیند و هم چنین بهینه سازی فرآیند را می دهد [۸]. شبکه های عصبی مصنوعی جز سیستم های دینامیکی- هوشمند می باشند، که با پردازش روی داده های تجربی، دانش یا قانون نهفته در ورای داده ها را به ساختار شبکه منتقل می کنند. به همین خاطر به این سیستم ها هوشمند می گویند، چرا که بر اساس محاسبات روی داده های عددی یا مثال ها، قوانین کلی را فرا میگیرند. محاسبات با شبکه های عصبی مصنوعی توسط پیتس و همکاران (۱۹۳۴) آغاز گردید. از سال های ۱۹۸۳ به بعد با ورود کامپیوترهای پر قدرت به بازار جهانی شاهد گسترش روز افزونه این روش در زمینه های مختلف علوم،

۲- مواد و روش‌ها

۲-۱- جمع آوری و عصاره گیری قره قات

اتانولی قره قات اضافه شد، سپس جهت بررسی اثر عصاره‌های آبی و اتانولی قره قات، هر یک از نمونه‌ها در دمای مشخص (۱۵ و ۲۵ درجه سانتی گراد در مدت زمان ۲۰ روز نگهداری شد. جهت بررسی روند اثر ضد میکروبی عصاره‌های آبی و اتانولی قره قات، هر ۲۴ ساعت (۱ روز) یک نمونه ۵ گرمی از هر تیمار با ۴۵ سی سی آب پیتونه (مرک آلمان) استریل سرد به مدت ۵ دقیقه توسط دستگاه استوماچر^۲ (Circulator400) همگن شد. رقت سازی متوالی در ۹ میلی لیتر آب پیتونه انجام می‌شود و تهیه رقت تا ۱۰-۵ ادامه یافت و پس از کشت رقت‌های مختلف بر روی محیط کشت مولر هیتون آکار (مرک آلمان) و عمل انکوباسیون در ۳۷ درجه سانتی گراد، شمارش میکروبی توسط کلینی کانتر (Sana SL-902) انجام گرفت، نتایج مشاهده شده به صورت واحد لگاریتمی تعداد باکتری (log cfu/g) گزارش شد. تمامی آزمایشات در سه تکرار انجام پذیرفت [۱۷].

۲-۴- تعیین حداقل غلظت مهار کنندگی (MIC)

حداقل غلظت مهار کنندگی عصاره‌های آبی و اتانولی قره قات با استفاده از روش رقت سازی در چاهک (میکروب‌راست دایلوشن) مورد بررسی قرار گرفت. برای این منظور از پلیت های استریل ۹۶ خانه‌ای استفاده شد. محلول استوک عصاره‌های میکروبی مولر هیتون روز قبل از غلظت‌های مختلف در دی متیل سولفوکساید تهیه گردید و در غلظت‌های مختلف عصاره (از ۴۰ تا ۱/۱۵۶ میلی گرم در میلی لیتر با رقیق سازی محلول استوک با محیط کشت مولر هیتون براث تهیه شد. باکتری‌ها به مدت یک شبانه روز قبل از انجام آزمایش، در دمای ۳۷ درجه سانتی گراد روی محیط کشت مولر هیتون براث کشت داده شدند. بعد از انجام تلقیح باکتری‌ها و پر کردن چاهک‌ها میکروب‌پلیت‌ها به مدت ۲۴ ساعت در دمای ۳۷ درجه سانتی گراد انکوبه شدند. بعد از طی ۲۴ ساعت میزان کدورت توسط Micro plate reader در طول موج ۶۳۰ نانومتر خوانده شد. اولین خانه‌ای که در آن کدورتی مشاهده نشد به عنوان حداقل غلظت مهار کنندگی در نظر گرفته شد

پس از جمع آوری گیاه قره قات از مناطق محلی علی آباد کتول (گرگان) تایید جنس و گونه با همکاری با پژوهشکده علوم گیاهی، دانشگاه فردوسی مشهد صورت پذیرفت. از روش ماسرسایون^۱ (خیساندن) جهت عصاره‌گیری استفاده شد. در این روش ۱۰۰ گرم از گیاه قره قات به دقت با استفاده از ترازوی دیجیتال توزین و در ارلن‌های جداگانه استریل که حاوی ۵۰۰ میلی لیتر اتانول ۹۶ درصد (مرک آلمان) و آب مقطر بودند ریخته شد. ارلن حاوی قره قات و حلال به مدت ۷۲ ساعت درون انکوباتور شیکر دار در دمای ۴۰ درجه سانتی گراد قرار داده شدند تا حلال اثر خود را به نحو مطلوب اعمال نماید. سپس مخلوط حاصل از کاغذ صافی عبور داده شده و جهت شفاف سازی عمل سانتریفیوژ به مدت ۱۰ دقیقه در دور ۳۰۰۰ rpm انجام گرفت. در مرحله بعد از دستگاه روتاری جهت حذف حلال استفاده گردید. جهت حذف هرگونه آلودگی میکروبی و استریل نمودن عصاره‌های آبی و اتانولی از فیلتر سرنگی استفاده شد [۱۶].

۲-۲- تهیه سوسیس فرانکفورتر

سوسیس فرانکفورتر جزء فرآورده‌های گوشتی ۶۰ درصد طبقه‌بندی می‌شود و فرمولاسیون این فرآورده طبق استاندارد ملی مربوط به فرآورده‌های گوشتی (۲۳۰۳) تهیه گردید. گوشت بدون چربی (۶۰٪)، ایزوله سویا (۲٪)، یخ (۲٪)، ادویه (۰/۹۵٪)، روغن مایع (۰/۵٪)، پیاز (۰/۳٪)، نشاسته (۰/۵٪)، اسید اسکوربیک (۰/۰۴٪)، پلی فسفات (۰/۰۳٪)، نمک (۰/۱۷٪)

۲-۳- آنالیزهای میکروبیولوژیکی

بعد از تهیه سوسیس طبق استاندارد ملی ایران و استریل نمودن آن، از کشت ۲۴ ساعته اشرشیا کلی میزان ۱۰^۱ cfu/ml طبق استاندارد مک فارلند به هریک از نمونه‌های سوسیس فرانکفورتر تلقیح شد. سپس به هریک از نمونه‌ها میزان (صفر، ۲۰۰۰، ۴۰۰۰ و ۶۰۰۰ ppm) عصاره‌های آبی و

2. Stomacher

1. Maceration

(4)

$$RMSE = \sqrt{\frac{\sum_{i=1}^N (R_{model,i} - R_{exp,i})^2}{N}}$$

۶-۲ ارزیابی حسی

برای ارزیابی خصوصیات حسی از پانل ده نفری که نمونه‌ها را بر اساس بو، ظاهر و رنگ و پذیرش کلی مورد بررسی قرار دادند، استفاده گردید و جهت ارزیابی، سیستم نمره‌دهی هدونیک (نمره ۱ بسیار بد و نمره ۹ بسیار خوب) مورد استفاده قرار گرفت.

۷-۲ مدل سازی

۱-۷-۲ شبکه عصبی

نتوری شبکه‌های عصبی مصنوعی الهام گرفته از مدل سلول‌های عصبی مغز انسان است. مغز از تعداد زیادی سلول‌عصبی یا نورون تشکیل شده است. ورودی نورون‌ها در وزن‌های ثابت ضرب شده سپس با یک عدد ثابت به نام بایاس (Bias) جمع می‌شود، و نتیجه از یکتابع غیر خطی عبور می‌کند تا خروجی حاصل شود [۵].

(5)

$$y = \sum_{i=1}^p F(W_{ij}x_i) + b_j$$

در معادله ۵، W_{ij} ضریب وزنی نورون شماره i که به نورون شماره j متصل است می‌باشد. p تعداد ورودی‌های هر نورون و b_j بردار بایاس نورون j است. f در این معادله بیانگر تابع فعال سازی می‌باشد.

متداولترین شبکه عصبی مورد استفاده شبکه پیشخور^۴ است. در این شبکه، اطلاعات تنها در جهت پیشخور جریان می‌یابد. از میان شبکه‌های عصبی پیشخور، شبکه پرسپترون^۵ چند لایه کاربرد گسترده‌تری در صنایع غذایی و مهندسی شیمی دارد. بر اساس نظری تقریب جهانی، یک شبکه ANN با یک لایه مخفی حاوی تعداد مناسبی از نورون‌های مخفی، قادر است هر ورودی را با یک درجه صحت خاص، به خروجی تبدیل کند [۲۰]. ساختار یک شبکه عصبی با یک لایه مخفی و تعداد نورون در شکل ۱، نمایش داده شده.

4. Feedforward networks
5. perceptrons

[۱۸]. با توجه به نتایج حاصل از حداقل غلظت مهارکنندگی، از تمام خانه‌هایی که رشد باکتری در آن‌ها متوقف شده بود، به پلیت‌های حاوی محیط کشت مولر هیتون آگار کشت داده شد و ۲۴ ساعت در دمای ۳۷ درجه گرم خانه گذاری شدند. غلظت‌هایی که قادر رشد باکتری بودند، به عنوان حداقل غلظت کشنده‌گی (MBC) گزارش شد. آزمایشات در ۳ تکرار انجام شد [۱۹].

۲-۵ طرح آماری

در این پژوهش تاثیر دما (در سه سطح ۵، ۱۵ و ۲۵ درجه سانتی گراد)، غلظت عصاره در پنج سطح (صفرا، ۲۰۰۰، ۴۰۰۰، ۶۰۰۰ و ۸۰۰۰ ppm)، نوع عصاره (آبی و اتانولی)، در طی ۲۰ روز در سه تکرار، برای بررسی اثر ضد میکروبی عصاره گیاه قره قات بر باکتری اشرشیا کلی در یک سیستم کمپلکس غذایی (سوسیس فرانکفورتر) انجام شد. آزمایش‌ها در قالب آزمایش فاکتوریل بر پایه طرح کاملاً تصادفی طرح ریزی گردید. به طور کلی از ۶۰ داده در جهت فرایند مدل سازی با استفاده از ژنتیک الگوریتم-شبکه عصبی مصنوعی و سیستم‌های نوروفازی^۳ استفاده شده است. به منظور بررسی کارایی مدل از شاخص‌های مانند ضریب تبیین، ضریب تبیین اصلاح شده، میانگین مربع خطاهای و ریشه میانگین مربع خطاهای بر اساس معادله‌های (۱ تا ۴) استفاده شد [۴].

(1)

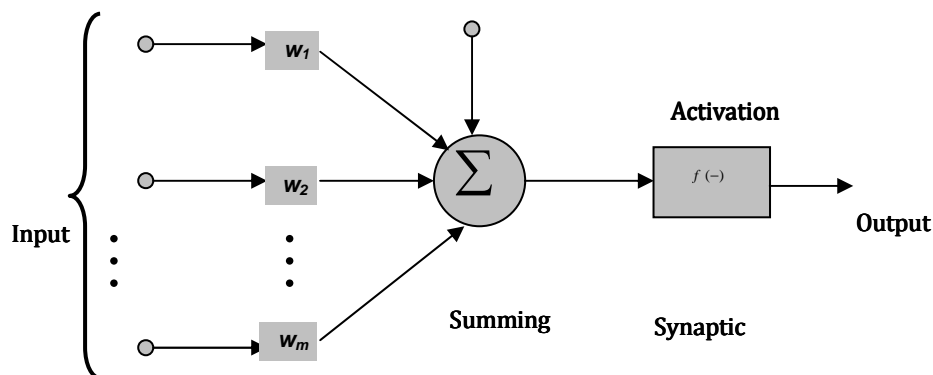
$$R^2 = 1 - \frac{SS_{residual}}{(SS_{residual} + SS_{model})}$$

(2)

$$R_{adj}^2 = 1 - \frac{\frac{SS_{residual}}{df_{residual}}}{\left(\frac{SS_{residual}}{df_{residual}} + \frac{SS_{model}}{df_{model}} \right)}$$

(3)

$$MSE = \frac{\sum_{i=1}^N (R_{model,i} - R_{exp,i})^2}{N}$$



شکل ۱ ساختار شماتیک ورودی و خروجی شبکه عصبی مصنوعی پرسپترون سه لایه به منظور پیشگویی دینامیک جمعیت اشرشیا کلی.

مقدار صفر به یک و یا بالعکس تبدیل می شود. هنگامی که برخی ضوابط مانند تعداد معینی تولید نسل و یا میانگین انحراف معیار عملکرد اشخاص جمعیت تامین شود، الگوریتم رئتیک به پایان می رسد. برای انجام عملیات مدل سازی رئتیک الگوریتم شبکه عصبی مصنوعی در این پژوهش از نرم افزار neuro solution 5 استفاده گردید.

۲-۷-۲- سیستم نورو فازی^{۱۲}

شبکه های فازی- عصبی در واقعه سیستم های استنتاج فازی هستند که به صورت یک شبکه عصبی در آمده و به زبان شبکه عصبی ترجمه شده و با استفاده از خواص شبکه عصبی، با اطلاعات ورودی- خروجی سیستم واقعی تحت آموختش قرار گرفته و اصلاح می شود.

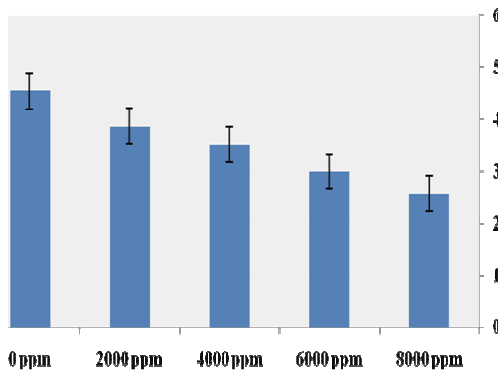
تکنیک های نورو فازی دارای یک ساختار با انعطاف پذیری بیشتری نسبت به شبکه های عصبی مصنوعی می باشند، و به شیوه ساده تری می توانند ارتباط بین ورودی و خروجی را در سیستم های کمپلکس غیر خطی ایجاد کنند. سیستم های نورو فازی از قدرت یادگیری شبکه عصبی برای تصحیح ضرائب توابع عضویت که مهمترین عضو سیستم های استنتاج فازی می باشند استفاده می کند. از جمله مزیت های این

تخمین تعداد نورون های لایه پنهان عموماً به وسیله آزمون و خطا انجام می شود که وقت گیر بوده و دارای خطا می باشد. لذا استفاده از روش های بهینه سازی از جمله الگوریتم رئتیک جهت به دست آوردن تعداد نورون های لایه مخفی برای از بین بردن این مشکل ذاتی شبکه های عصبی مصنوعی ضروری به نظر می رسد. الگوریتم رئتیک از تئوری انتخاب طبیعی الهام گرفته شده است که مبنی بر بقاء بهترین ها می باشد. مفاهیم اصلی الگوریتم رئتیک شامل عملگرهای کد گذاری^۷، انتخاب^۸، جهش^۹، آمیزش^۹ و رمز گشایی^{۱۰} است. مرحله کد گذاری را شاید بتوان مشکل ترین مرحله در حل مساله در این الگوریتم دانست. مهمترین عملگر در الگوریتم رئتیک عملگر آمیزش می باشد. با در نظر گرفتن نرخ ثابت پیوند^{۱۱} به ترتیب برابر هر کروموزوم یک عدد تصادفی در نظر گرفته می شود. اگر عدد تصادفی از نرخ پیوند کمتر باشد کروموزوم انتخاب می شود تا با کروموزوم دیگر که همچنین شرایطی را دارد آمیزش کند. در انجام فرآیند جهش، با انتخاب مقدار نرخ جهش، برای کلیه بیت های کروموزوم های جمعیت، عدد تصادفی تولید می شود. اگر عدد تصادفی تولید شده از نرخ جهش کوچکتر باشد، مقدار آن بیت عوض می گردد، یعنی

12. co-active neuro fuzzy logic system (CANFIS)
13. Fuzzy inference system

6. Coding
7. Selection
8. Mutation
9. Crossover
10. Decoding
11. cross over rate

یابد [۲۵]، این در حالی است که ژیافتگ و همکاران (۲۰۱۰) بیان داشتند که افزایش غلظت تاثیری در افزایش اثر ضد میکروبی ندارد [۲۶]. وجود اختلاف در نتایج ممکن است به دلیل تفاوت در شرایط انجام آزمایش باشد.



شکل ۲ اثر غلظت عصاره قره قات بر جمعیت باکتری اشرشیا کلی در یک سیستم کمپلکس غذایی (سوسیس فرانکفورتر)

۱-۲-۲- اثر نوع عصاره

نتایج پژوهش حاضر (شکل ۳) نشان داد، که اثر ضد میکروبی بسته به نوع عصاره متفاوت می باشد به گونه ای که اثر ضد میکروبی عصاره اتانولی قره قات اثر ضد میکروبی بیشتری نسبت به عصاره آبی قره قات نشان داد. طباطبایی یزدی و همکاران (۱۳۹۳) بیان نمودند که عصاره اتانولی گیاه چویل دارای فعالیت بازدارنده‌گی و کشنده‌گی بیشتری نسبت به عصاره آبی گیاه چویل است. این محققان دلیل این امر را افزایش وزن خشک عصاره بیان نمودند [۲۷]. نتایج به دست آمده از بررسی اثر ضد میکروبی عصاره‌های آبی و اتانولی قره قات (شکل ۱) نشان داد که حلال اتانول به طور موثرتری نسبت به حلال آبی توانسته است با اجزا و مواد تشکیل دهنده قره قات بر همکنش ایجاد کند و باعث افزایش خروج مواد موثره از گیاه و بالا رفتن غلظت این مواد در عصاره اتانولی نسبت به عصاره آبی قره قات شود تا آنجایی که نتایج این مطالعه نشان داد که تعییر نوع حلال باعث افزایش اثر ضد میکروبی عصاره اتانولی نسبت به عصاره آبی قره قات می شود. تحقیقات مشابه‌ای در این زمینه بر روی تعدادی از گیاهان دارویی نیز انجام شده که تنوری ذکر شده را تایید می کنند. ابوابا و همکاران (۲۰۰۶) اثر ضد میکروبی عصاره‌های آبی و اتانولی ۴ گونه گیاهی مختلف را بر تعدادی از باکتری‌های بیماری زا را در شرایط آزمایشگاهی مورد بررسی قرار دادند. نتایج این پژوهشگران

سیستم را می توان کاهش دادن زمان لازم برای آموزش و ... نام برد.

۳- نتایج و بحث

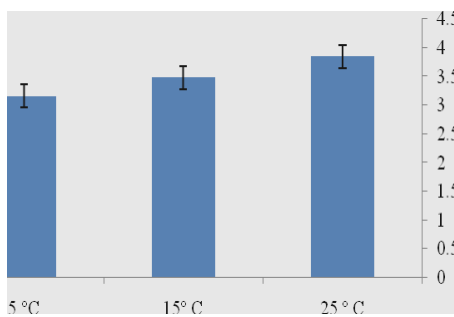
۳-۱-۱- اثر پارامترهای فرآیند بر روند دینامیک رشد اشرشیا کلی در سیستم کمپلکس غذایی (سوسیس فرانکفورتر)

۳-۱-۱-۱- اثر غلظت

نتایج نشان داد که با افزایش غلظت هریک از عصاره‌های آبی و اتانولی قره قات اثر ضد میکروبی عصاره‌ها در سیستم کمپلکس غذایی (سوسیس فرانکفورتر) افزایش پیدا می کند (شکل ۲).

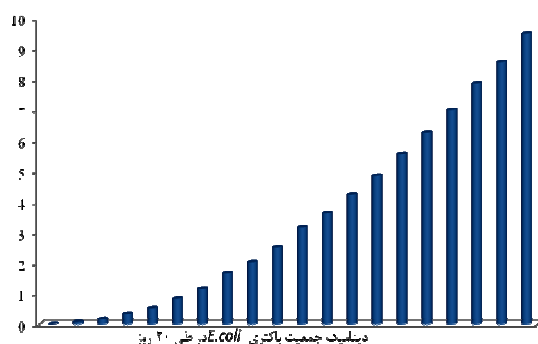
خان و همکاران (۲۰۰۱) اثر ضد میکروبی عصاره *Cassia alata* را بر تعدادی از گونه‌های باکتری گرم مثبت و گرم منفی در شرایط آزمایشگاهی مورد بررسی قرار دادند. نتایج این پژوهشگران نشان داد که با افزایش غلظت‌های عصاره، اثر ضد میکروبی افزایش پیدا نمود، این محققان دلیل این امر را افزایش ترکیبات موثر موجود در عصاره *Cassia alata* عنوان نمودند [۲۱]. غلظت‌های متفاوت عصاره در افزایش اثر ضد میکروبی مؤثر است و در مطالعات متعددی با تغییر میزان غلظت عصاره، اثرات ضد میکروبی گیاه تعییرکرده است. پنا و همکاران (۲۰۰۱)، اثر ضد میکروبی *Sebastiania brasiliensis* را مورد بررسی قرار دادند. نتایج این محققان نشان داد که با افزایش غلظت، اثر ضد میکروبی افزایش پیدا می کند [۲۲]. کیزیلی و همکاران (۲۰۱۰) اثر ضد میکروبی گیاه زوفا را مورد بررسی قرار دادند، نتایج این محققان موید این مطلب بود که با افزایش غلظت اثر ضد میکروبی افزایش پیدا نمود [۲۳]. مارینو و همکاران (۲۰۱۰) اثر ضد باکتریایی انسانس زوفا را علیه ۶ سوش باکتریایی گرم مثبت و ۹ گونه باکتریایی گرم منفی در شرایط آزمایشگاهی مورد بررسی قرار داد. این محققان بیان نمودند که اثر ضد باکتریایی بسته به شرایط فیزیکو شیمیایی، از جمله غلظت، pH، دما و ... دارد، بنحوی که با افزایش غلظت اثر ضد میکروبی افزایش پیدا می کند [۲۴]. در مورد اثر ضد میکروبی با افزایش غلظت آن، نظرات متفاوتی وجود دارد. به عنوان مثال کائو و همکاران (۲۰۰۹) بیان نمودند که با افزایش غلظت اثر ضد میکروبی افزایش می

است، این موضوع نشان دهنده وجود رابطه مستقیم بین دما و اثر ضد میکروبی عصاره قره قات می باشد. یلمه و همکاران (۲۰۱۴) اثر ضد میکروبی دانه آنانو را مورد بررسی قرار دادند. نتایج این پژوهشگران نیز نشان داد که با افزایش درجه حرارت اثر ضد میکروبی افزایش پیدا می کند [۱۳].



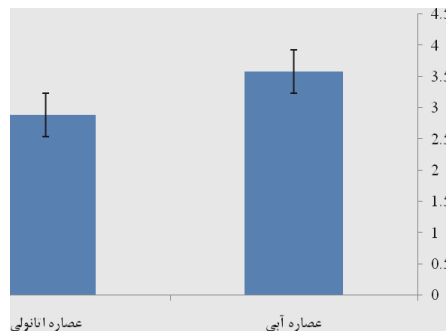
شکل ۴ اثر دمای ۵، ۱۵ و ۲۵ درجه سانتی گراد بر جمعیت باکتری اشرشیا کلی در یک سیستم کمپلکس غذایی (سوسیس فرانکفورتر) -۴- اثر زمان

نتایج مربوط به اثر زمان بر رشد باکتری اشرشیا کلی در شکل ۵، آورده شده است. نتایج نشان داد که نرخ کاهش رشد باکتری در ۱۰ روز اول بیشتر از ۱۰ روز دوم آزمایش بود، دلیل این امر را می توان این گونه تفسیر نمود که جمعیت باکتری در روز اول آزمایش، حساسیت بیشتری نسبت به مواد ضد میکروبی داشته اند، سپس با گذشت زمان شاهد آدپتی شدن میکروارگانیسم مذکور با عصاره های آبی و اتانولی قره قات بودیم. یلمه و همکاران (۲۰۱۴) اثر ضد میکروبی دانه آنانو را بر باکتری سالمونلا ایترینیتیدیس در سس آنانو مورد بررسی قرار دادند و به نتایج مشابه ای دست یافتند [۱۳].



شکل ۵ اثر زمان بر جمعیت باکتری اشرشیا کلی در یک سیستم کمپلکس غذایی (سوسیس فرانکفورتر)

نشان داد که اثر ضد میکروبی هر ۴ گونه گیاهی وابسته به نوع حلال می باشد به طوری که اثر ضد میکروبی عصاره اتانولی بر باکتری های پاتوژن به مراتب بیشتر از عصاره آبی بود [۲۸].



شکل ۳ اثر نوع عصاره قره قات (آبی و اتانولی) بر جمعیت باکتری اشرشیا کلی در یک سیستم کمپلکس غذایی (سوسیس فرانکفورتر)

نتایج مربوط به حداقل غلظت ممانعت کننده از رشد و حداقل غلظت کشنده در جدول ۱، آورده شده است. نتایج نشان می دهد که از لحاظ حساسیت به عصاره های آبی و اتانولی در باکتری مورد مطالعه اختلاف معنی دار وجود دارد. به عبارت دیگر باکتری مورد مطالعه حساسیت بیشتری نسبت به عصاره اتانولی قره قات نشان داد. بنابراین همانطور که در جدول ۱، آورده شده است حداقل غلظت مهار کننده در باکتری مورد بررسی در این پژوهش مربوط به عصاره آبی و اتانولی به ترتیب ۵ و ۱/۲۵ میلی گرم بر میلی لیتر و حداقل غلظت کشنده عصاره های آبی و اتانولی نیز به ترتیب ۵ تا ۲/۵ میلی گرم بر میلی لیتر گزارش شد.

جدول ۱ نتایج حداقل غلظت مهار کننده ای رشد (MIC) و حداقل غلظت کشنده (MBC) عصاره های آبی و اتانولی

قره قات		
MBC	MIC	نوع عصاره
۱/۲۵	۰/۶۲۵	اتانولی
۵	۲/۵	آبی

-۱-۳- اثر دما

با توجه به شکل ۴، می توان این گونه بیان نمود که با افزایش دما از ۵ درجه سانتی گراد تا ۲۵ درجه سانتی گراد میزان جمعیت میکروبی باکتری اشرشیا کلی کاهش پیدا کرده

پیشگویی جمعیت میکروبی باکتری اشرشیا کلی مورد بررسی قرار گرفت.

بر اساس نتایج تجربی مشخص شد، در صورتی که ۳۰ درصد داده ها برای آموزش استفاده گردد، شبکه به خوبی قادر به یادگیری روابط بین ورودی و خروجی ها می باشد. همچنین از ۳۰ درصد داده ها برای ارزیابی (cross validation) شبکه آموزش دیده استفاده گردید. به منظور آزمون شبکه نیز از باقی مانده داده ها (۰،۴ درصد) استفاده گردید.

برای رسیدن به ترکیبی مناسبی از تعداد نورون های در لایه پنهان شبکه عصبی از فرایند بهینه سازی با استفاده از روش الگوریتم ژنتیک استفاده گردید. جمعیت اولیه برای تولید نسل ها ۱۰۰ و حداقل تعداد نسل ها ۵۰ در نظر گرفته شد. احتمال آمیزش و جهش بر اساس توصیه راهنمای نرم افزار ۰/۹ و ۰/۰۱ انتخاب گردید.

مقادیر بهینه پارامترهای شبکه عصبی مصنوعی مورد استفاده جهت پیشگویی جمعیت میکروبی باکتری اشرشیا کلی به طور خلاصه در جدول (۲) گزارش شده است. نتایج این پژوهش نشان داد که شبکه عصبی مصنوعی دارای ۱۰ نورون در لایه پنهان می تواند به خوبی جمعیت باکتری اشرشیا کلی را پیشگویی نماید (جدول (۳)). مقادیر وزن ها و بایاس های متضایر با هر نورون برای شبکه عصبی دارای ۱۰ نورون در لایه پنهان در جدول (۴) آورده شده است، با استفاده از یک برنامه کامپیوتری مناسب می توان از آن برای پیش بینی دینامیک جمعیت میکروبی باکتری اشرشیا کلی در یک سیستم کمپکلس غذایی استفاده نمود.

مقادیر آزمایشگاهی داده های ارزیابی (۰،۴٪) مربوط به جمعیت باکتری اشرشیا کلی در برابر مقادیر پیشگویی شده به روش الگوریتم ژنتیک - شبکه عصبی مصنوعی در شکل (۶) آورده شده است. نتایج به دست آمده گویای این مطلب است که از مدل سازی به روش الگوریتم ژنتیک - شبکه عصبی مصنوعی می تواند به عنوان یک روش مناسب برای پیش بینی دینامیک جمعیت میکروبی باکتری اشرشیا کلی در یک سیستم کمپکلس غذایی استفاده نمود.

$$f(x) = \frac{e^x - e^{-x}}{e^x + e^{-x}}$$

۲-۳- بررسی ویژگی های حسی (بو،رنگ و پذیرش کلی)

از جنبه های موثر در موفق بودن و قابل اجرا بودن نوآوری ها و دستکاری فرمولاسیون های متدال مخصوصات غذایی، فاکتور قابلیت پذیرش این محصولات است، به صورتی که اگر تغییرات اعمال شده در فرمولاسیون های غذایی از جنبه نتایج آزمون های مختلف موفق باشند اما نتوانند در آزمون های حسی نمرات قال قبولی کسب کنند، در حقیقت قابلیت اجرایی نخواهند داشت. در ارزیابی حسی انجام شده در این پژوهش بر روی نمونه های سوسیس فرانکفورت مشخص شد، تیمارهای که در سطوح مختلف حاوی عصاره قره قات (صفر، ۲۰۰۰، ۴۰۰۰، ۶۰۰۰ ppm)، تهیه شده بودند علاوه بر اینکه از نظر رنگی و روشنابی برای ارزیاب ها قابل قبول بودند. از جنبه طعم و مزه هم قابلیت پذیرش خوبی داشتند، نمونه های تهیه شده از مخلوط عصاره قره قات با غلاظت ۲۰۰۰ پی بی ام از نظر ارزیاب ها نسبت به نمونه های دیگر به صورت قابل ملاحظه ای از جنبه رنگ و طعم موفق تر بودند و بیشترین امتیازها را کسب نمود.

۳-۳- نتایج مدل سازی

۱-۳-۳- الگوریتم ژنتیک-شبکه عصبی مصنوعی

با توجه به میزان خطای کمتری که با استفاده از تابع فعال سازی تائزانت هپیر بولیک (معادله ۶) به دست آمد، این تابع به عنوان تابع فعال سازی در لایه خروجی و پنهان در نظر گرفته شده است. در مدل سازی شبکه عصبی مصنوعی هر چه درصد داده های مورد استفاده برای تربیت شبکه بیشتر باشد، شبکه ای با قدرت پیشگویی بالاتری به دست خواهد آمد. اما با توجه به این نکته که حصول داده های بیشتر مستلزم صرف زمان و هزینه بیشتر است و از آنجایی که یکی از اهداف مدل سازی، کاهش زمان و هزینه آزمایشات است لذا به دست آوردن شبکه ای که با حداقل درصد داده های مورد استفاده برای فرآیند تربیت که قادر به پیشگویی قابل قبولی در مورد خروجی های مورد نظر باشد، ما را به اهداف مدل سازی نزدیکتر خواهد نمود [۲۹، ۳۰]. پیرو این استدلال، درصد های متفاوتی از کل داده های موجود برای فرآیند تربیت مورد استفاده قرار گرفت (۶۰-۱۵٪) و میزان میانگین مربعات خطای میانگین مربعات خطای نرمالیزه شده، میانگین خطای مطلق و ضریب تبیین را برای

جدول ۲ مقادیر بهینه پارامتر های بهینه شبکه عصبی مورد استفاده جهت پیشگویی جمعیت میکروبی اشرشیا کلی

٪ دلخواه آزمون	٪ درصد دلخواه لرزیلی	٪ نله های آموزش	تعلاد نزون های لایه مخفی	قلاعله یادگیری	درجه مو متوم	تلع فعل سازی	تعلاد نزون های لایه مخفی	تعلاد نزون های لایه مخفی	٪ دلخواه های مخفی
۴۰	۳۰	۳۰	۱۰	۱۰	۱۰	تازه انت	هیبر	مو متوم	۱

جدول ۳ پارامتر های اماری جهت سنجش کفاایت مدل ژنتیک الگوریتم -شبکه عصبی مصنوعی جهت پیش بینی دینامیک جمعیت

میکروبی اشرشیا کلی

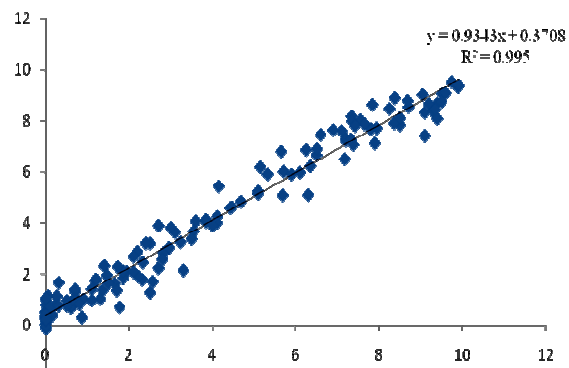
شاخص هایی کارانی مدل	
۰/۰۰۷	میانگین مربعات خطأ
۰/۰۸۳	ریشه دوم میانگین مربعات خطأ
.۹۹۵	ضریب تبیین
۰/۹۸۷	ضریب تبیین اصلاح شده

جدول ۴ مقادیر وزن ها و بایاس ها متناظر به دست آمده از شبکه عصبی بهینه برای پیشگویی جمعیت میکروبی اشرشیا کلی

نورون های خروجی	نورون های ورودی				بایاس	نورون های لایه مخفی
	نوع عصاره	زمان	غلطات	دما		
-۰/۱۶	۰/۲۳	۰/۲۸	۰/۶۸	۰/۲۷	۱/۹۱	۱
-۰/۱۳	۰/۲۴	۰/۳۶	۰/۸۵	-۰/۱۸	۲/۶۲	۲
-۰/۱۲	۰/۷۵	۰/۴۰	۰/۱۳	-۱/۲۴	-۱/۱۶	۳
-۰/۲۳	-۰/۹۳	-۰/۳۶	۰/۰۷	-۰/۱۱	۱/۴۱	۴
-۰/۱۷	-۰/۵۷	۰/۳۴	۰/۵۶	۰/۰۷	-۰/۸۴	۵
۰/۵۷	-۰/۱۴	۰/۲۴	۰/۵۸	۰/۰۵	۱/۹۴	۶
۰/۴۷	-۰/۳۲	۰/۹۸	۰/۰۵	۰/۸۵	۱/۷۸	۷
-۰/۳۶	۰/۰۵	۰/۴۳	-۰/۰۵	۰/۸۶	-۱/۳۶	۸
-۰/۲۹	۰/۹۱	-۰/۲۵	-۰/۹۲	۰/۰۴	-۲/۰۸	۹
-۰/۴۰	۰/۵۴	-۰/۱۳	-۰/۰۱	۰/۰۸	-۱/۲۱	۱۰
۱/۵۱					بایاس	

(CANFIS) سیستم نوروفازی ۳-۳-۳

آخرین سیستم هوشمند مورد استفاده در این پژوهش، روش CANFIS می باشد. در این سیستم، دما، غلظت عصاره، نوع عصاره و زمان فرایند به عنوان ورودی شبکه و میزان جمعیت باکتری اشرشیا کلی به عنوان خروجی شبکه در نظر گرفته شده است. بر اساس نتایج تجربی مشخص شد، در صورتی که درصد داده ها برای آموزش استفاده گردد، شبکه به خوبی قادر به یادگیری روابط بین ورودی و خروجی ها می باشد. همچنین ۵۰ درصد داده های آموزش از داده های برای آزمون شبکه (cross validation) از ۳۰ درصد داده های برای آزمون شبکه (error) آموزش دیده استفاده گردید. به منظور ارزیابی شبکه



شکل ۶ مقادیر آزمایشگاهی جمعیت میکروبی اشرشیا کلی در برابر مقادیر پیشگویی شده توسط روش الگوریتم ژنتیک-شبکه عصبی مصنوعی ($Rsquare = ۰/۹۹۵$)

پنهان و ۱۰ نورون در لایه پنهان با تابع فعال سازی از نوع تائزانت هیپربولیک و قاعده یادگیری مومتوم به طور موفقیت آمیزی قادر به به پیش بینی جمعیت باکتری اشرشیا کلی می باشد. همچنین CANFIS با استفاده از مدل فازی TSK، و قاعده یادگیری لیونبرگ مارکوئت و ۲ تابع عضویت (از نوع گوسین) به ازای هر نورون ورودی به خوبی قادر به پیش بینی دینامیک جمعیت باکتری اشرشیا کلی می باشد. نتایج نشان داد که با افزایش غلظت هریک از عصاره های آبی و اتانولی قره قات اثر ضد میکروبی عصاره ها در سیستم کمپلکس غذایی (سوسیس فرانکفورتر) افزایش پیدا می نماید. همچنین با افزایش دما از ۵ درجه سانتی گراد تا ۲۵ درجه سانتی گراد میزان جمعیت میکروبی باکتری اشرشیا کلی کاهش پیدا کرد. پیشنهاد می شود با توجه به مضرات استفاده از نیتریت در فراورده های گوشتشی، استفاده از عصاره اتانولی قره قات در سیستم غذایی کمپلکس (سوسیس فرانکفورتر) جایگزین شود.

۵- تشکر و قدردانی

مقاله علمی - پژوهشی حاضر مستخرج از طرح پژوهشی با کد ۲۳۰۷۱۳ مصوب در دانشگاه فردوسی مشهد می باشد. نویسنندگان مقاله بر خود لازم می دانند که از معاونت پژوهشی دانشگاه فردوسی مشهد به دلیل مساعدت های مالی جهت اجرای این طرح پژوهشی صمیمانه تشکر و قدردانی نمایند.

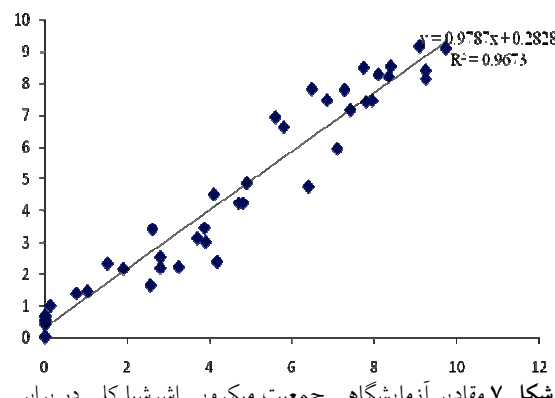
۶- منابع

- [1] Leistner L. Basic aspects of food preservation by hurdle technology. 2000. International Journal of Food Microbiology. 55(1): 181-6.
- [2] Marco A, Navarro JL, Flores M. 2006. The influence of nitrite and nitrate on microbial, chemical and sensory parameters of slow dry fermented sausage. Meat Science. 73(4): 660-73.
- [3] Giatrakou V, Ntzimani A, Savvaidis I. 2010. Effect of chitosan and thyme oil on a ready to cook chicken product. Food Microbiology. 27 (1):132-6..
- [4] Petrou S, Tsiraki M, Giatrakou V, Savvaidis I. 2012. Chitosan dipping or oregano oil treatments, singly or combined on modified atmosphere packaged chicken

(testing) نیز از باقی مانده داده ها (۲۰ درصد) استفاده گردید.

در این پژوهش از مدل فازی TSK، و قاعده یادگیری لیونبرگ مارکوئت، و ۲ تابع عضویت (از نوع گوسین (معادله ۷)) به ازای هر نورون ورودی استفاده گردیده است. همچنین به منظور جلوگیری از Over fitting فرایند آموزش دادن بعد از ۱۰۰۰ تکرار یا در صورت بهبود پیدا نکردن MSE در داده های مربوط به cross validation error پذیرفت. میزان خطای محاسبه شده توسط سیستم CANFIS در طی مرحله testing در جدول (۵) آورده شده است. بنابر نتایج این پژوهش میزان صحت مدل نسبت به روش الگوریتم ژنتیک - شبکه عصبی مصنوعی به میزان انداکی کمتر می باشد (شکل ۷ و جدول ۵).

$$y = a \times \exp\left(\frac{(x - \bar{x})}{\sigma}\right)$$



شکل ۷ مقادیر آزمایشگاهی جمعیت میکروبی اشرشیا کلی در برابر

مقادیر پیشگویی شده توسط روش سیستم نورو فازی
جدول ۵ پارامتر های آماری جهت سنجش کفایت مدل

نورو فازی جهت پیش بینی دینامیک جمعیت میکروبی اشرشیا کلی

شاخص هایی کارایی مدل
میانگین مربعات خطای مدل
ریشه دوم میانگین مربعات خطای مدل
ضریب تبیین
ضریب تبیین اصلاح شده

۴- نتیجه گیری

برای شیوه سازی دینامیک جمعیت باکتری اشرشیا کلی، از روش های ژنتیک الگوریتم-شبکه عصبی استفاده شد. نتایج نشان داد که ژنتیک الگوریتم-شبکه عصبی مصنوعی با یک لایه

- inference system application. *Peptide Science.* 98(4):280-7.
- [16] Rajeev S, Krishnamoorthy C. 1992. Discrete optimization of structures using genetic algorithms. *Journal of Structural Engineering.* 118(5):1233-50.
- [17] Alizadeh Behbahani B, Tabatabaei Yazdi F, Mortazavi A, Zendeboodi F, Gholian MM, Vasiee A. 2014. Antimicrobial effect of Carboxy Methyl Cellulose (CMC) containing aqueous and ethanolic Eucalyptus camaldulensis L. leaves extract against *Streptococcus pyogenes*, *Pseudomonas aeruginosa* and *Staphylococcus epidermidis*. *Journal of Paramedical Sciences.* 5(2): 59-69.
- [18] Kim JM, Kim JS, Kim N, Jung HC, Song IS. 2005. Distribution of fluoroquinolone MICs in *Helicobacter pylori* strains from Korean patients. *Journal of Antimicrobial Chemotherapy.* 56(5): 965-7.
- [19] Thiem B, Goslinska O. 2004. Antimicrobial activity of *Rubus chamaemorus* leaves. *Fitoterapia.* 75(1):93-5.
- [20] Tabatabaei Yazdi F, Alizadeh Behbahani B, Mortazavi A. 2014. Investigating the Minimum Inhibitory Concentration (MIC) and Minimum Bactericidal Concentration (MBC) of the *Lavandula stoechas* L. and *Rosmarinus officinalis* L. extracts on pathogen bacteria "in vitro". *Journal of Paramedical Sciences;* 5(2): 91-101.
- [21] Lei Y, He Z, Zi Y, Hu Q. 2007. Fault diagnosis of rotating machinery based on multiple ANFIS combination with GAs. *Mechanical Systems and Signal Processing.* 21(5):2280-94.
- [22] Khan M, Kihara M, Omoloso A. 2001. Antimicrobial activity of *Cassia alata*. *Fitoterapia.* 72(5):561-4.
- [23] Penna C, Marino S, Vivot E, Cruanes M, De D Munoz J, Cruanes J. 2001. Antimicrobial activity of Argentine plants used in the treatment of infectious diseases. Isolation of active compounds from *Sebastiania brasiliensis*. *Journal of Ethnopharmacology.* 77(1):37-40.
- [24] Kizil, S., Hasimi, N., Tolam, V., Kilinc, E. and Karatas, H. 2010. Chemical composition, antimicrobial and antioxidant activities of hyssop (*Hyssopus officinalis* L.) essential oil. *Notulae Botanicae Horti Agrobotanici Cluj-Napoca.* 38 (3):99-103.
- [25] Marino M, Bersani C, Comi G. 2001. Impedance measurements to study the breast meat. *International Journal of Food Microbiology.* 156(3):264-71.
- [5] Honikel K-O. 2008. The use and control of nitrate and nitrite for the processing of meat products. *Meat Science.* 78 (1):68-76.
- [6] Jo C, Ahn H, Son J, Lee J, Byun M. 2003. Packaging and irradiation effect on lipid oxidation, color, residual nitrite content, and nitrosamine formation in cooked pork sausage. *Food Control.* 14 (1):7-12.
- [7] Benvenuti S, Pellati F, Melegari Ma, Bertelli D. 2004. Polyphenols, anthocyanins, ascorbic acid, and radical scavenging activity of *Rubus*, *Ribes*, and *Aronia*. *Journal of Food Science.* 69 (3): 164-9.
- [8] Bechtler H, Browne M, Bansal P, Kecman V. 2001. New approach to dynamic modelling of vapour-compression liquid chillers: artificial neural networks. *Applied Thermal Engineering.* 21(9):941-53.
- [9] Van Riel NA. 2006. Dynamic modelling and analysis of biochemical networks: mechanism-based models and model-based experiments. *Briefings in Bioinformatics.* 7 (4):364-74.
- [10] Razavi MA, Mortazavi A, Mousavi M. 2003. Dynamic modelling of milk ultrafiltration by artificial neural network. *Journal of Membrane Science.* 220(1):47-58.
- [11] Garson GD. Neural networks: An introductory guide for social scientists: Sage; 1998.
- [12] Sagdic O, Ozturk I, Kisi O. 2012. Modeling antimicrobial effect of different grape pomace and extracts on *S. aureus* and *E.coli* in vegetable soup using artificial neural network and fuzzy logic system. *Expert Systems with Applications.* 39(8):6792-8.
- [13] Yolmeh M, Habibi Najafi MB, Salehi F. 2014. Genetic algorithm-artificial neural network and adaptive neuro-fuzzy inference system modeling of antibacterial activity of annatto dye on *Salmonella enteritidis*. *Microbial Pathogenesis.* 67:36-40.
- [14] Vats S, Negi S. 2013. Use of artificial neural network (ANN) for the development of bioprocess using *Pinus roxburghii* fallen foliages for the release of polyphenols and reducing sugars. *Bioresource Technology.* 140: 392-8.
- [15] Fernandes FC, Rigden DJ, Franco OL. 2012. Prediction of antimicrobial peptides based on the adaptive neuro - fuzzy

- [28] Tabatabaei Yazdi F, Alizadeh Behbahani B, Heidari Sureshjani M. 2014. The comparison of antimicrobial effects of Chevil (*Ferulago angulata*) extract with a variety of common therapeutic antibiotics in vitro. Arak Medical University Journal (AMUJ). 17(84): 35-46.
- [29] Aboaba O, Smith S, Olude F. 2006. Antibacterial effect of edible plant extract on *Escherichia coli* 0157: H7. Pakistan Journal of Nutrition. 5(4): 325-7.
- [30] Takagi H, Hayashi I. 1991. Neural Network driven fuzzy reasoning. International Journal of Approximate Reasoning. 5(3): 191-212.
- antimicrobial activity of essential oils from Lamiaceae and Compositae. International Journal of Food Microbiology. 67 (3):187-95.
- [26] Cao, R., Xue, C. & Liu, Q. 2009. Changes in microbial flora of Pacific oysters (*Crassostrea gigas*) during refrigerated storage and its shelf-life extension by chitosan. International Journal of Food Microbiology. 131: 272–6.
- [27] Xiao Fang, L., Xiao Qiang, F., Sheng, Y. & Ting Pu, W. 2010. Effects of molecularweight and concentration of chitosan on antifungal activity against *Aspergillus niger*. Iranian Polymer Journal. 17: 843-852.

The use of ANN-GA and Neuro fuzzy for modeling the population dynamics of bacterial (Escherichia coli ATTC 29998) in the frankfurter sausage containing of Redcurrant extract

Tabatabaei Yazdi, F. ^{1*}, Alghooneh, A. ², Alizadeh Behbahani, B. ², Vasiee, A. R. ²

1. Associate Professor, Department of Food Science and Technology, Faculty of Agriculture, Ferdowsi University of Mashhad

2. Ph.D Student, Department of Food Science and Technology, Faculty of Agriculture, Ferdowsi University of Mashhad

(Received: 93/4/17 Accepted: 93/6/12)

The purpose of this study was to evaluate the effect of time, kind of extract, extract concentration and temperature on the dynamically the population of Escherichia coli (infectious agents) in the complex food system (frankfurter sausage) and Genetic Algorithm - Artificial neural network and neuro fuzzy system (CANFIS) were used for dynamic modeling of population of E.coli. At this research laboratory, Minimum Inhibitory Concentration (MIC) and Minimum Bactericidal Concentration (MBC) of aqueous and ethanolic extracts were studied using the micro broth dilution method. GA-ANN, neuro fuzzy (CANFIS) were fed with four inputs: concentration at the five level (0, 2000, 4000, 6000, 8000 ppm), kind of extract (watery, ethanol), temperature at the three level (5,15, 25 °C) and time (1-20). The results showed that the ANN with 1 hidden layer comprising 10 neurons, Tangent hyperbolic function, momentum training rule and percent of used data 30/30/40 for training/cross validation/testing respectively gives the best fitting with the experimental data, which made it possible to predict with high determination coefficient (R² equal to 0.995). Also the correlation between CANFIS predictions and experimental data was very good (R² equal to 0.96). It's worth to mention that in this research GA- ANN was better approach to simulation dynamically the population of E.coli.

Key words: Escherichia coli, Redcurrant, Genetic algorithm, Artificial Neural Network, Neuro fuzzy

* Corresponding Author E-Mail Address: tabatabai@um.ac.ir